



# بررسی ریزساختار و خواص مکانیکی آلیاژ تیتانیوم Ti-3Al-2.5V تحت فرایند جوشکاری میکروپلاسمای

فرهاد جاویدراد<sup>۱\*</sup>، حسین فرقانی<sup>۲</sup>، محمد حیدری<sup>۳</sup>، مهدی مشایخی<sup>۴</sup>

۱- دانشیار مهندسی هوافضا، دانشکده مهندسی هوافضا، دانشگاه علوم و فنون هوایی شهید ستاری، تهران

۲- کارشناس ارشد مواد- جوشکاری، دانشکده مهندسی هوافضا، دانشگاه علوم و فنون هوایی شهید ستاری، تهران

۴-۳ دانش آموخته کارشناسی ارشد هوافضا، دانشکده مهندسی هوافضا، دانشگاه علوم و فنون هوایی شهید ستاری، تهران

\* تهران، کد پستی ۱۳۸۴۶-۶۳۱۱۳. f\_javidrad@yahoo.com

**چکیده-** در این مقاله، فرایند جوشکاری میکروپلاسمای بر روی ورق نازک از آلیاژ تیتانیوم Ti-3Al-2.5V گزارش شده است. نمونه‌های تجربی با جریان، ولتاژ، سرعت جوشکاری و گذر نرخ حجمی گاز محافظ کنترل شده تحت جوشکاری قرار گرفتند. خواص مکانیکی و ریزساختار نمونه‌های جوشکاری شده مورد بررسی قرار گرفت تا پارامترهای مناسب جوشکاری مشخص شود. آزمایش‌های مکانیکی شامل آزمون کشش، خمش و میکروسختی سنجی نشان داد که در صورت تنظیم صحیح پارامترهای جوشکاری، استحکام کشش نمونه‌های جوشکاری شده به فلز اصلی بسیار نزدیک است در حالی که سختی فلز جوش از فلز اصلی و منطقه تحت تأثیر گرمای (HAZ) بیشتر می‌باشد. آزمایش‌های شکستنگاری، طیف سنجی پراش اشعه X و متالوگرافی برای مطالعه سطح شکست و تغییرات ریزساختار مورد استفاده قرار گرفتند. این آزمایش‌ها نشان دادند که به طور کلی شکست نمونه‌ها از نوع شکست نرم بوده و تغییر فاز مارتینزیتی از فاز  $\beta$  در درجه حرارت بالا به فاز  $\alpha'$  سوزنی شکل در منطقه جوش و HAZ اتفاق می‌افتد.

**کلیدواژگان:** آلیاژ تیتانیوم Ti-3Al-2.5V، جوشکاری میکروپلاسمای، ریزساختار، مورفولوژی سطح شکست، متالوگرافی.

## An investigation into the microstructure and mechanical properties of Ti-3Al -2.5V under micro-plasma arc welding

F. Javidrad<sup>1\*</sup>, H. Farghadani<sup>2</sup>, M. Haydari<sup>3</sup>, M. Mashayekhy<sup>4</sup>

1-Assoc. Prof. of Aerospace Eng., Dept. of Aerospace Eng., Shahid Sattari Aeronautical Univ. of Sci. and Tech., Tehran, Iran

2-Instructor of Welding Tech., Dept. of Aerospace Eng., Shahid Sattari Aeronautical Univ. of Sci. and Tech., Tehran, Iran

3,4- MSc. Graduate, Dept. of Aerospace Eng., Shahid Sattari Aeronautical Univ. of Sci. and Tech., Tehran, Iran

\* P.O.B. 13846-63113, Tehran, Iran. f\_javidrad@yahoo.com

### Abstract-

In this paper, the process of joining Ti-3Al-2.5V titanium alloy thin sheets by means of micro-plasma arc welding (MPAW) is reported. The specimens were welded under controlled welding parameters, such as voltage, current, travel speed and shielding gas flow rate. An appropriate set of parameters for MPAW process was examined by mechanical properties tests and microstructure characterization. Mechanical tests including tensile test, bending test and micro-hardness evaluation across the weld line generally show that if suitable welding parameters are used, the tensile strength of the welded specimen is well comparable with that of the base metal, while its hardness increased at the fusion zone (FZ). Fractography, X-ray diffraction and metallography were also performed to study the microstructure evolution. SEM images of the fracture surface presented characteristics of ductile rupture. Studies on microstructure morphology of the specimens at the FZ and HAZ reveal occurrence of phase transformation from high temperature  $\beta$  phase to acicular  $\alpha'$  phase.

**Keywords:** Ti-3Al-2.5V Titanium Alloy, Micro-Plasma Arc Welding, Microstructure, Fracture Surface Morphology, Metallograph.

## ۱- مقدمه

### ۱-۱- تیتانیوم

استحکام بالا نسبت به وزن، مقاومت خوردگی عالی، چرمگی خوب و چگالی پایین تیتانیوم و آلیاژهای آن باعث شده است این ماده کاربردهای فراوانی در صنایع مختلف از جمله صنایع هواپسا، پتروشیمی و شیمیایی داشته باشد [۲،۱]. این فلز مانند آهن، دارای استحاله آلتوربوی در درجه حرارت حدود  $882^{\circ}\text{C}$  می‌باشد که این استحاله با حالت انتقال کریستالی از شکل هگزاگونال شش وجهی (HCP) در دمای پایین به شکل مکعب مرکزدار (BCC) همراه است. وجود این استحاله، کاربرد تیتانیوم و آلیاژهای آن را در دمای بالاتر از  $800^{\circ}\text{C}$  محدود کرده است [۳]. ولیکن با انجام عملیات حرارتی‌های مختلف روی تیتانیوم می‌توان به ریز ساختارهای مختلف و در نتیجه خواص مکانیکی مختلف دست یافت [۴].

تیتانیوم فلزی است که در صورت گرم شدن می‌تواند گازهای جوی یا عناصری مانند اکسیژن، نیتروژن، هیدروژن یا کربن را جذب کرده و در خود حل کند [۴،۵]. حل شدن این عناصر حتی در حد کم، سختی این فلزات را افزایش می‌دهد. وجود هیدروژن همچنین باعث کاهش چرمگی و افزایش حساسیت فلز به ترک می‌شود. به همین دلیل باید این فلزات تحت محافظت گاز خنثی با خلوص بالا یا در داخل تجهیزات خلاء جوش کاری شوند.

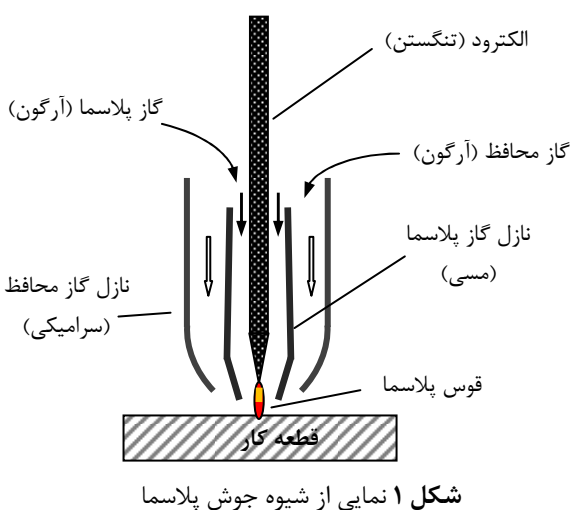
آلیاژ Ti-3Al-2.5V یکی از آلیاژهای گروه  $\beta$  است که شامل  $3\%$  آلومینیوم به عنوان تثبیت‌کننده فاز آلفا و  $2/5\%$  واندیوم برای تثبیت فاز بتا می‌باشد. این آلیاژ که به آن آلیاژ نزدیک به  $\alpha$  نیز گفته می‌شود، در حالت سرد نسبت به آلیاژ متداول و بسیار پر کاربرد Ti-6Al-4V قابلیت فرمدهی بهتری دارد؛ به این دلیل از آن برای ساخت لوله‌های بی‌درز برای سیستم‌های هیدرولیک و انتقال سوخت هوایپیما و به صورت ورق برای قسمت‌های از سازه جدار نازک بدنه هوایپیماهای نظامی که در معرض حرارت (تا محدوده  $500^{\circ}\text{C}$ ) هستند، استفاده می‌کنند. قابلیت جوش کاری این آلیاژ بسیار خوب بوده و می‌توان آن را با اغلب روش‌های جوش کاری، از جمله جوش لیزر [۷]، جوش پرتو الکترونی [۸]، جوش اصطکاکی [۹] و جوش پلاسما<sup>۱</sup> جوش داد [۱۰].

فرایند PAW برای اتصال در محدوده وسیعی از ضخامت‌ها (از  $0.025\text{ mm}$  به بالا) مورد استفاده قرار می‌گیرد. جوش کاری پلاسما معمولاً در مواردی استفاده می‌شود که لازم باشد محل و گرده جوش و منطقه حرارت دیده مجاور آن تا حد ممکن باریک باشد. جوش کاری پلاسما در سه محدوده مختلف جریان امکان‌پذیر است:

میکروپلاسما<sup>۲</sup>: شدت جریان بین  $0/8$  تا  $15$  آمپر

جریان متوسط: شدت جریان بین  $15$  تا  $200$  آمپر

سوراخ کلیدی: شدت جریان بین  $200$  تا  $400$  آمپر.



## 2. Micro-Plasma Arc Welding

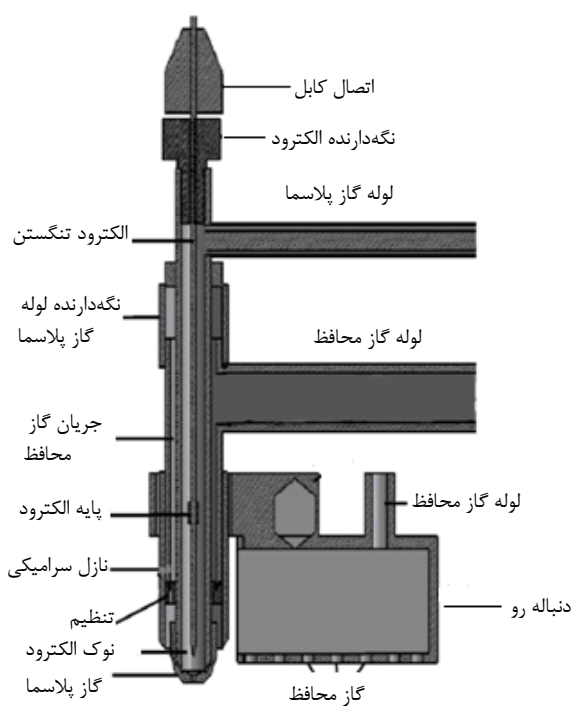
## ۲- فرایند جوشکاری میکروپلاسما

## ۱-۲- تجهیزات و برپایی سامانه جوشکاری

در این تحقیق، از یک دستگاه متداول جوش آرگون (GTAW) استفاده شده و با طراحی و ساخت مشعل مناسب و فراهم کردن گاز پلاسمای جوش میکروپلاسمای به توسط آن انجام شده است (شکل ۲).

مشعل جوش کاری میکروپلاسمما اساساً از دو لوله هم محور تشکیل شده که به توسط پایه‌هایی از جنس تفلون در موقعیت هم محوری نگاه داشته می‌شوند. لوله گاز محافظ از جنس برنج (بدلیل قابلیت خوب ماشین کاری) و لوله گاز پلاسمما از جنس مس (به دلیل ضریب انتقال حرارت بالا) ساخته شد. الکتروود تگستنی نیز در وسط لوله گاز پلاسمما با پایه‌های تفلونی نصب گردید.

در ساخت مشعل پلاسما پارامترهای اندازه قطر نازل گاز پلاسما و جنس آن و عایق کاری اجزای داخلی آن به عنوان پارامترهای مهم و مؤثر در کیفیت جوش کاری مدنظر قرار گرفت. برای ساخت نازل گاز پلاسما، از فلز مس به دلیل ضریب بالای هدایت حرارتی آن با قطر ۱ mm استفاده شد و برای عایق کاری اجزای مشعل نیز از چسب سیلیکون RTV به دلیل مقاومت حرارتی بالا استفاده شد.



شکل ۲ نمایی از مشعل طراحی شده برای جوش میکروپلاسما

روش میکروپلاسما (MPAW) معمولاً برای جوش کاری قطعات نازک تا ضخامت ۳ mm به کار می‌رود. پارامترهای مهم در جوش کاری پلاسما شدت جریان، سرعت جوش کاری، قطر نازل مسی، میزان جریان گازهای پلاسما و محافظت است که بسته به نوع آلیاژ و ضخامت قطعه باید بطور مناسب انتخاب شوند در مرجع [۱۲] اهمیت تنظیم دقیق این پارامترها در جوش کاری میکروپلاسما به صورت تجربی بیان گردیده است. اگرچه مرجع [۱۲] به جوش کاری میکروپلاسمای ورق فولادی ۳۰۴ mm با ضخامت ۵/۰ پرداخته است ولیکن نتایج بدست آمده به طور اصولی به جوش کاری میکروپلاسما روی مواد دیگر از جمله تیتانیوم قابل تعمیم است. کریمزاده و همکاران [۱۳] از روش میکروپلاسما برای جوش کاری آلیاژ تیتانیوم Ti-6Al-4V استفاده کرده و تأثیر پارامترهای جوش کاری از قبیل جریان، سرعت جوش کاری و نرخ جریان گاز محافظت را در رشد دانه و توزیع حفره‌ها بررسی نموده‌اند. آنها دریافتند که رشد دانه‌های فاز  $\alpha$  اساساً به میزان حرارت مخصوص ورودی جوش بستگی داشته و این دانه‌ها توسط فاز  $\alpha'$  محصور می‌شوند.

در تحقیق دیگر، جاویدراد و همکاران [۱۲] از روش میکروپلاسمای برای جوشکاری ورقهای بسیار نازک از جنس فولاد ضد زنگ AISI 304 استفاده و دریافتند که پارامترهای ورودی تأثیر بسیار زیادی در کیفیت و استحکام جوش دارد و در عمل باید در انتخاب این پارامترها دقیق باشند. اثر تمیزکاری سطح و استفاده از لایهبرداری لیزی در کیفیت جوشکاری و ریزساختار لولههای ساخته شده از آلیاز تیتانیوم Ti-3Al-2.5V گفته است.

تاکنون تعداد بسیار محدودی مقاله و گزارش‌های تحقیقاتی در مورد استفاده از روش MPAW برای اتصال آلیاژ‌های تیتانیومی منتشر شده است و در ادبیات موضوع نتایج منتشر شده‌ای در مورد جوش‌کاری میکروپلاسمای ورق‌های نازک ساخته شده از آلیاژ Ti-3Al-2.5V در دسترس نمی‌باشد. عمدۀ تحقیقات در این حوزه، به آلیاژ Ti-6Al-4V اختصاص دارد.

از سوی دیگر، وابستگی ریزساختار و رفتار ماده جوش کاری شده به فرایند و پارامترهای آن مبین اهمیت موضوع می‌باشد.

مرحله‌ای و به روش دستی انجام شد. تصویر بزرگنمایی شده خط جوش و پشت آن در شکل ۴ نشان داده شده است.

### ۳-۲ پارامترهای جوش کاری

به صورت تجربی و با آزمون و خطا مشاهده شد که مقادیر مناسب نرخ گذر حجمی گاز محافظه و گاز پلاسمای به ترتیب برابر  $18 \text{ lit/min}$  و  $18 \text{ lit/min}$  می‌باشد. لذا در کلیه آزمایش‌ها، جریان گاز پلاسمای ثابت و برابر  $18 \text{ lit/min}$  قرار داده شد. برای تعیین اثر گاز محافظه، علاوه بر جریان  $18 \text{ lit/min}$  از نرخ گذر حجمی  $16 \text{ lit/min}$  نیز استفاده گردید. انرژی حرارت ورودی مخصوص از رابطه (۱) محاسبه می‌شود.

$$H_j = \frac{\eta VI}{v} \quad (1)$$

که در آن  $I$  شدت جریان،  $V$  پتانسیل جوش کاری،  $v$  سرعت پیشروی حرکت مشعل و  $\eta$  راندمان حرارتی است که بر اساس مرجع [۱۷] برای جوش پلاسمای برابر  $0.6$  می‌باشد. براساس نتایج بدست آمده از آزمون‌های انجام شده با جریان، ولتاژ و سرعت جوش کاری کنترل شده بر اساس داده‌های جدول ۱، حداقل انرژی حرارت ورودی مخصوص برای جوش با نفوذ کامل در حدود  $76 \text{ J/mm}$  برآورد شد. چنان‌چه حرارت ورودی از حدود  $140 \text{ J/mm}$  بیشتر شود، علاوه بر ذوب قطعه کار، نازل مسی نیز دچار آسیب می‌شود. همچنین افزایش حرارت ورودی موجب افزایش عرض ناحیه جوش نیز می‌شود که در اغلب موارد مطلوب نیست. انتخاب میزان گذر حجمی گاز محافظه دنباله‌رو و گاز پشت‌بند نیز باید به گونه‌ای باشد که ناحیه جوش را در مقابل اکسید شدن و عوامل اتمسفری حفاظت کند؛ که به طور تجربی مقدار  $14 \text{ lit/min}$  مناسب تشخیص داده شد.

چهار متغیر جریان، ولتاژ، سرعت پیشروی و نرخ گذر جریان گاز محافظه به عنوان متغیرهای اصلی در طراحی پارامترهای جوش کاری نمونه‌ها مورد توجه قرار گرفت. بر این اساس در ۱۰ حالت (جدول ۲)، نمونه‌های جوش کاری شده ایجاد گردید. در این تحقیق، کمیت اصلی برای سنجش جوش میکروپلاسمای روی آلیاژ تیتانیوم مورد نظر، گرمای ورودی مخصوص در نظر گرفته شده است. لذا بازه تغییرات برای متغیرهای جریان و پتانسیل محدود در نظر گرفته شده و تغییر در گرمای ورودی مخصوص عمدتاً بر اساس تغییر در سرعت پیشروی متوسط ایجاد شده است.

برای تنظیم نرخ گذر گاز محافظه، از رینگ‌های تفلونی که روی آن هشت سوراخ با فاصله مساوی تعییه گردیده بود، به عنوان شیر تنظیم استفاده شد. این رینگ‌ها پشت نازل سرامیکی (شکل ۲) در مسیر عبور گاز محافظه نصب گردید. سامانه گاز محافظه دنباله‌رو نیز از ورق نازک آهن به شکل قوطی ساخته شد و سوراخ‌ها و اتصالات مناسب برای جریان گاز آرگون روی آن تعییه گردید.

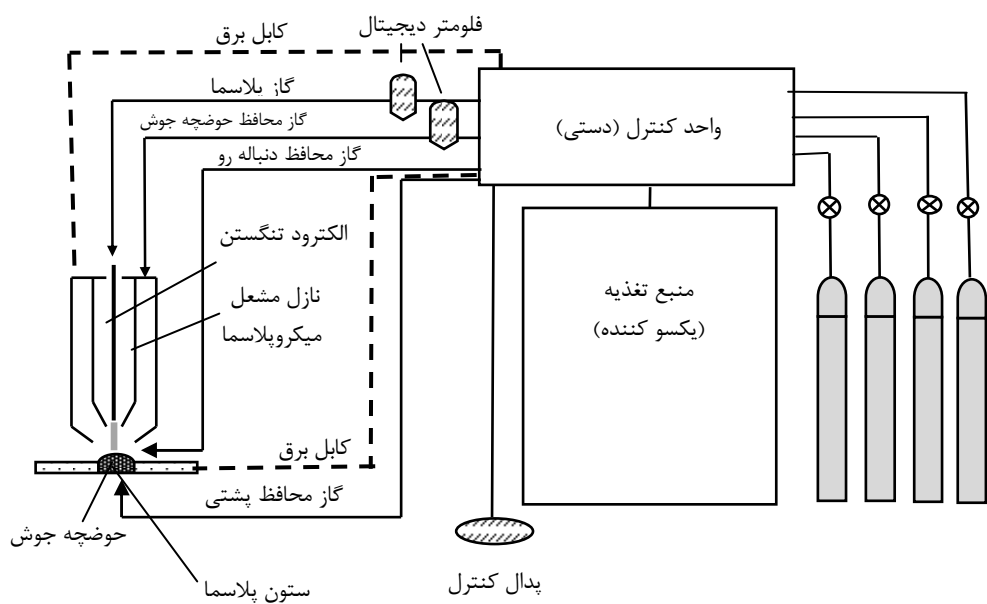
به دلیل پایین بودن شدت جریان مصرفی، مشعل نیاز به سیستم خنک‌کاری آب نداشته و لذا در ساخت آن لحاظ نشده است. ابعاد دقیق و نقشه ساخت مشعل مورد نظر در مرجع [۱۵] آورده شده است. برای حفاظت بهتر از فلز حوضچه جوش و منطقه گرمایی (HAZ)، از گاز حفاظت کننده ثانویه (از نوع دنباله‌رو<sup>۱</sup>) نیز استفاده شد که در طراحی مشعل آورده شده است. همچنین به منظور انتقال حرارت مناسب از قطعه و حفاظت از منطقه پشت جوش، راهگاه جریان گاز محافظه منطقه پشت جوش در طراحی و ساخت قید و بند نگهدارنده قطعه کار تعییه گردید که نقشه‌ها و کلیه ابعاد قید و بند نگهدارنده نیز در مرجع [۱۵] آورده شده است. طرح واره تجهیزات جوش کاری میکروپلاسمای استفاده شده در این تحقیق، در شکل ۳ نشان داده شده است.

### ۲-۲ آماده‌سازی نمونه‌ها و تنظیمات

نمونه‌ها از ورق تیتانیوم آنیل شده Ti-3Al-2.5V به شکل مستطیل به ابعاد  $100 \times 25 \times 0.8 \text{ mm}$  بریده شده تا به صورت لب به لب جوش کاری شوند. نمونه‌ها ابتدا با استن چربی‌زدائی شده و با آب شستشو داده شدند. پس از خشک شدن با وزش باد گرم به مدت ۵ دقیقه در محلول اسید نیتریک ۶.۵٪ اکسیدزدایی گردیدند. پس از آماده‌سازی، نمونه‌ها در قید و بند قرار گرفتند. از جریان مستقیم با الکترود منفی (DCEN) و نوع الکترود تنگستنی حاوی ۲٪ تریوم (EWTh-2) با نوک تیز و زاویه راس  $45^\circ$  و قطر  $1 \text{ mm}$  برای جوش کاری استفاده شد. بر طبق مرجع [۱۶]، در جوش کاری با جریان ثابت الکترود تنگستنی با ۲٪ تریوم به صورت نوک تیز بسیار مناسب می‌باشد. میزان گاز پلاسمای با توجه به مقادیری که در آزمایشات به دست آمده بود تعیین و جوش کاری بصورت لب به لب و تک

1. Heat-Affected Zone

2. Trailing Shielding Gas

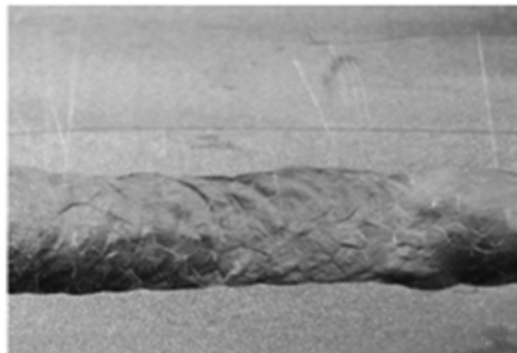


شکل ۳ نمایی از برپایی جوش پلاسما

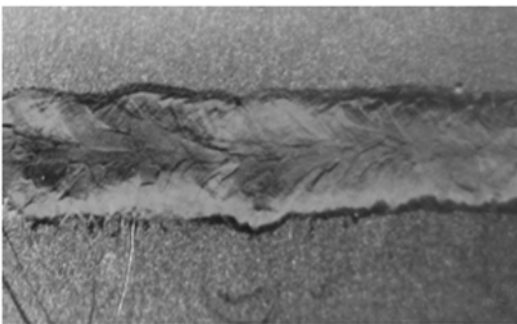
استاندارد ASTM-E-8 و ابعاد داده شده در شکل ۵ توسط دستگاه واترجت بریده شد؛ به گونه‌ای که در نمونه‌های جوش‌کاری شده، جوش در وسط نمونه عمود بر جهت اعمال بار قرار داشته باشد.

جدول ۱ مشخصات جوش نمونه‌ها

نوع اتصال جوش	لب به لب
تعداد پالس	تک مرحله‌ای
موقعیت جوش	تخت
قید و بند	تخت همراه با فک‌های مسی
مشعل	بدون خنک کاری آب (۱۵ A)
الکترود	۱ mm با قطر EWTh-2
فلز پر کننده	استفاده نشده
گاز پلاسما	آرگون با نرخ گذر ۰/۷ lit/min
گاز محافظ	آرگون با نرخ گذر ۱۸ lit/min
گاز دنباله رو	آرگون با نرخ گذر ۱۴ lit/min
گاز محافظ پشتی	آرگون با نرخ گذر ۱۴ lit/min
فاصله نازل تا قطعه کار	۲/۵ mm - ۳ mm
دستگاه جوش	۲۲۰ ولت - ۳۰۰ آمپر
جریان	۱۰، ۱۲، ۱۳، ۱۴ آمپر
ولتاژ	۱۸، ۱۹ و ۲۰ ولت
سرعت جوش کاری	۱/۲ mm/s و ۱/۶ mm/s
عملیات حرارتی قبل و بعد از جوش کاری	استفاده نشده



الف- روی خط جوش



ب- پشت خط جوش

شکل ۴ تصویر بزرگنمایی شده جوش

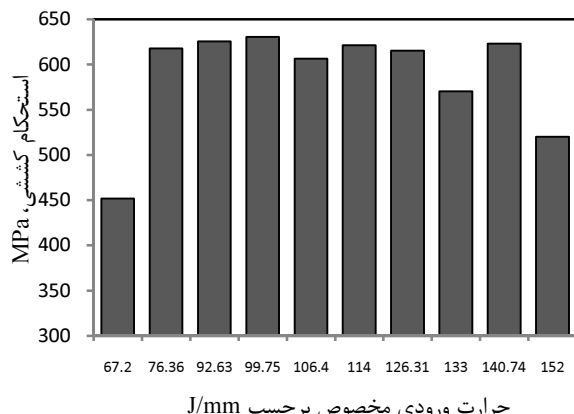
### ۳- آزمون و تحلیل نمونه‌های جوش‌کاری شده

#### ۳-۱- آزمون کشش

نمونه‌های جوش‌کاری شده و نمونه‌هایی از فلز اصلی بر اساس

جدول ۳ نتایج آزمون کشش فلز اصلی

نمونه	استحکام سیلان (MPa)	استحکام کشش (MPa)	ازدیاد طول %
فلز اصلی	۵۴۳	۶۲۵	۱۷/۴



شکل ۶ استحکام کششی نمونه‌ها بر حسب گرمایی ورودی مخصوص

با افزایش گرمایی ورودی مخصوص، استحکام کشش نمونه‌های جوش‌کاری شده قدری افزایش می‌یابد؛ به گونه‌ای که بیشترین استحکام کشش متعلق به نمونه با گرمایی ورودی مخصوص  $99/75 \text{ J/mm}$  است. و با افزایش گرمایی ورودی از این مقدار، استحکام کشش کمی کاهش یافته به گونه‌ای که در نمونه با گرمایی ورودی مخصوص  $152 \text{ J/mm}$  استحکام کشش به  $520 \text{ MPa}$  کاهش می‌یابد. در این گرمایی ورودی ذوب زیاد در ماده اتفاق افتاده که منجر به ایجاد حباب و سوراخ در خط جوش گردیده است. این گرمایی ورودی مخصوص و بیشتر از آن برای جوش‌کاری ورق تیتانیوم  $\text{Ti-3Al-2.5V}$  با ضخامت  $0.8 \text{ mm}$  مناسب نمی‌باشد.

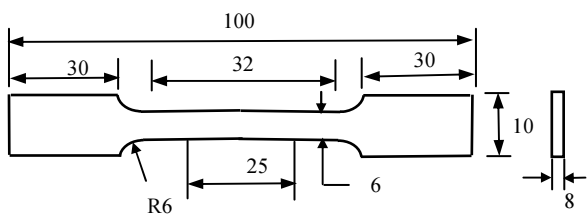
نرخ گذر حجمی گاز محافظه از عوامل تأثیرگذار در خواص مکانیکی جوش است. لذا به منظور بررسی تأثیر نرخ گذر حجمی گاز محافظه در استحکام کششی اتصال، علاوه بر مقدار نرخ گذر گاز مناسب  $18 \text{ lit/min}$ ، از مقدار  $16 \text{ lit/min}$  نیز استفاده شده است. در شکل ۷ استحکام کشش نمونه‌ها بر حسب گرمایی ورودی مخصوص در دو مقدار مختلف نرخ گذر گاز محافظه نمایش داده است. با توجه به نتایج آزمون‌ها، نرخ گاز محافظه  $18 \text{ lit/min}$  در محدوده گرمایی ورودی مخصوص بین حدود  $80 \text{ J/mm}$  تا  $140 \text{ J/mm}$  مناسب‌تر از  $16 \text{ lit/min}$  می‌باشد. همچنین دیده می‌شود که محدوده

جدول ۲ پارامترهای استفاده شده برای جوش‌کاری نمونه‌ها.

شماره نمونه	نرخ گذر گاز سرعت متوسط lit/min	محافظه	پیشروی mm/sec	پتانسیل (آمپر)	جریان (ولت)	گرمایی ورودی J/mm	مخصوص
۱	۱۸	۱۸	۲/۲۰	۱۴	۲۰	۷۶/۳۶	
۲	۱۸	۱۸	۲/۵۰	۱۴	۲۰	۶۷/۲۰	
۳	۱۸	۱۸	۱/۶۰	۱۴	۱۹	۹۹/۷۵	
۴	۱۸	۱۸	۱/۶۰	۱۳	۱۹	۹۲/۶۳	
۵	۱۶	۱۶	۰/۹۵	۱۰	۲۰	۱۲۶/۳۱	
۶	۱۸	۱۸	۰/۸۱	۱۰	۱۹	۱۴۰/۷۴	
۷	۱۸	۱۸	۰/۷۵	۱۰	۱۹	۱۵۲/۰۰	
۸	۱۶	۱۶	۱/۲۰	۱۲	۱۹	۱۱۴/۰۰	
۹	۱۶	۱۶	۱/۵۰	۱۴	۱۹	۱۰۶/۴۰	
۱۰	۱۶	۱۶	۱/۲۰	۱۴	۱۹	۱۳۳/۰۰	

اگرچه در استاندارد ASTM-E-8 به برش نمونه توسط براده-برداری (ماشینکاری) اشاره شده است، ولی به دلیل افزایش دقیق در برش نمونه‌ها و کمترین آسیب به لبه‌های نمونه، در این تحقیق از سامانه واتر جت برای برش استفاده شده است. نمونه‌ها با استفاده از دستگاه کشش پیچی با حداکثر ظرفیت کشش  $40 \text{ تن}$  تحت آزمایش کشش قرار گرفتند. نتایج آزمون‌ها برای فلز اصلی در جدول ۳ و نتایج آزمون‌های استحکام کشش برای نمونه‌های جوش‌کاری شده بر حسب گرمایی ورودی مخصوص در شکل ۶ نمایش داده شده است.

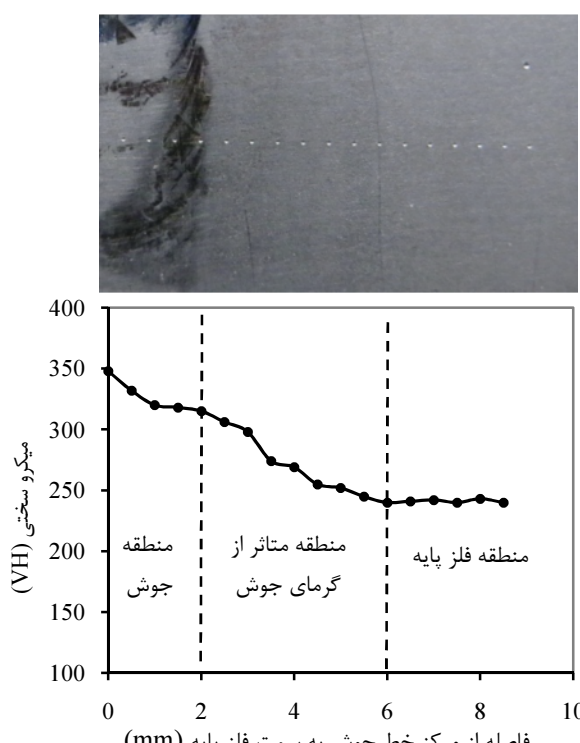
با توجه به نتایج آزمون‌ها، نمونه با گرمایی ورودی مخصوص  $67/2 \text{ J/mm}$  کمترین استحکام کشش را دارد که علت آن نفوذ کم جوش است و با افزایش گرمایی ورودی مخصوص به  $76/36 \text{ J/mm}$  استحکام کشش به  $617/8 \text{ MPa}$  افزایش یافته است که نسبت به استحکام کشش فلز اصلی کاهش کمی دارد. لذا می‌توان حداقل گرمایی ورودی مخصوص مناسب برای جوش‌کاری نمونه‌ها را همان  $76/36 \text{ J/mm}$  در نظر گرفت که موجب نفوذ مناسب و کیفیت مطلوب جوش می‌شود.



شکل ۵ نمونه تست کشش براساس استاندارد ASTM-E-8 (اندازه‌ها بر حسب میلی‌متر است).

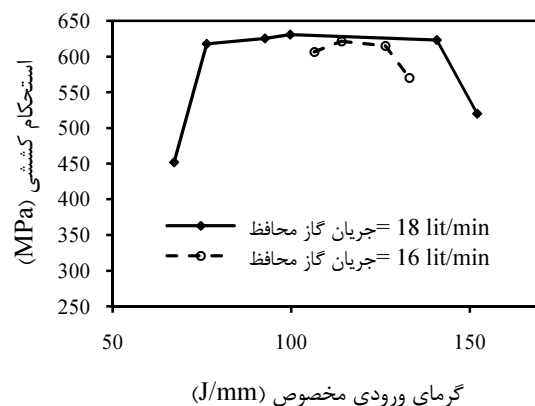
### ۳-۳- آزمایش سختی سنجی

میکروسختی سنجی از فلزجوش، HAZ و فلز اصلی با نیروی ۹/۸ نیوتن و زمان بارگذاری ۲۰ ثانیه انجام شد. هر آزمایش از روی مرکز خط جوش شروع و تا فلز اصلی ادامه داشت. فاصله هر نقطه مورد آزمون سختی سنجی با نقطه قبلی ۵/۰ mm بود. آزمایش تا نزدیک شدن مقادیر سختی به سختی فلز اصلی ادامه داشت. همچنین آزمایش میکروسختی در امتداد مرکز خطجوش نمونه نیز با فواصل ۵/۰ mm انجام شد که البته تغییرات زیادی در سختی آن مشاهده نشد (حداکثر تغییرات سختی در طول خط جوش حدود ۶٪ بوده است). نتایج آزمون برای نمونه B<sub>1</sub> در شکل ۸ نشان داده شده که ممین حدود ۴۰٪ افزایش سختی فلز جوش نسبت به فلز اصلی است. سختی از مرکز جوش به طور نسبتاً یکنواختی کاهش و تا فاصله ۶ میلی‌متری از خط جوش به سختی فلز اصلی می‌رسد. لذا، عرض منطقه متأثر از گرمای جوش حدود ۴ mm تقریب‌زده می‌شود. در سایر نمونه‌ها نیز تغییرات مشابه مشاهده گردید که در شکل ۹ نشان داده شده است.



شکل ۸ تغییرات سختی بر اساس فاصله از فلز پایه به طرف خط جوش برای نمونه B<sub>1</sub>

مناسب گرمای ورودی مخصوص به طور مستقیم به نرخ گذر گاز محافظه وابسته است. به گونه‌ای که برای نرخ گاز محافظه ۱۶ lit/min، بازه مناسب برای جوش‌کاری ورق مورد نظر، به محدوده بین حدود ۱۲۵ J/mm تا ۱۳۵ J/mm کاهش می‌یابد. در ادامه، سه نمونه از نمونه‌های جوش‌کاری شده که در آزمون‌های بعدی روی آنها تمرکز شده است به شرح جدول ۴ نامگذاری شده‌اند.



شکل ۷ استحکام کششی نمونه‌ها بر حسب گرمای ورودی مخصوص در دو مقدار مختلف نرخ گذر گاز محافظه

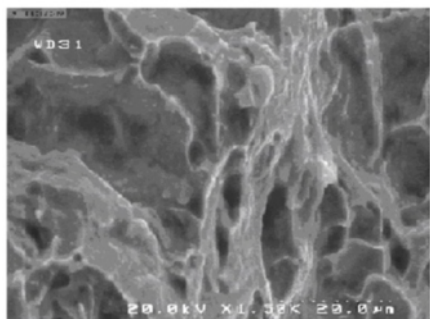
جدول ۴ نتایج آزمون کشش نمونه‌های جوش‌کاری شده

نرخ گذر گاز محافظه ٪	درصد از دیداد کشش MPa	حرارت ورودی محخصوص J/mm	استحکام نمونه lit/min	نمونه
۱۶/۲	۶۳۰/۸	۹۹/۷۵	۱۸	B <sub>1</sub>
۱۴/۸	۶۲۵/۶	۹۲/۶۳	۱۸	B <sub>2</sub>
۱۳/۴	۶۲۱/۴	۱۱۴/۰۰	۱۶	B <sub>3</sub>

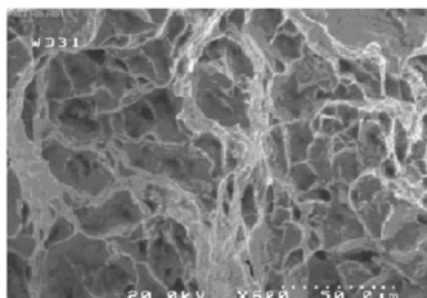
### ۲-۳- آزمون خمس

برای اطمینان از چقمرمگی و انعطاف‌پذیری فلز جوش، نمونه‌های جدول ۳ بر اساس استاندارد ASME SEC IX تحت آزمایش خمسم قرار گرفتند که در این آزمون‌ها هیچگونه شکاف و ترک در خط جوش و ناحیه HAZ مشاهده نشد. عدم وجود ترک، یکی از معیارهای نشان‌دهنده محافظت خوب و کیفیت مطلوب فرایند جوش‌کاری میکروپلاسمایا بر روی آلیاژ تیتانیوم-Ti-3Al-2.5V می‌باشد.

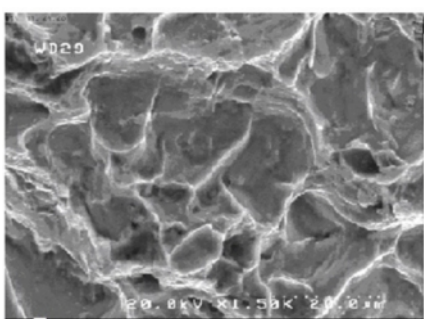
کریستالی و موقعیت آنها از طیف سنج پراش اشعه X استفاده می‌شود [۱۸]. از دستگاه XRD با مدل X-Pert X-Saxt شرکت فلیپس برای مشخص کردن فاز ساختمان فلز جوش، استفاده شد.



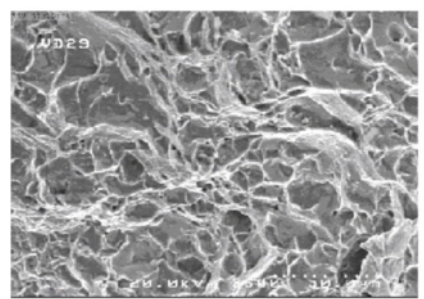
الف- نمونه B<sub>2</sub> با بزرگنمایی kX1.5



ب- نمونه B<sub>2</sub> با بزرگنمایی 600

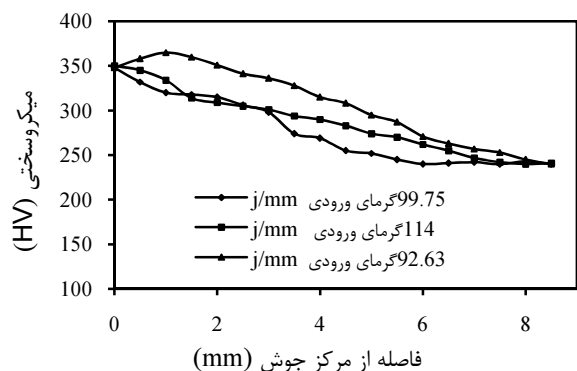


ج- نمونه B<sub>1</sub> با بزرگنمایی kX1.5



د- نمونه B<sub>1</sub> با بزرگنمایی 600

شکل ۱۰ مقایسه نوع شکست نمونه‌ها



شکل ۹ تغییرات سختی بر اساس فاصله از فلز پایه به طرف خط جوش و در امتداد مرکز خط جوش برای سه نمونه B<sub>1</sub>, B<sub>2</sub> و B<sub>3</sub>

#### ۴-۳- آنالیز سطح مقطع شکست

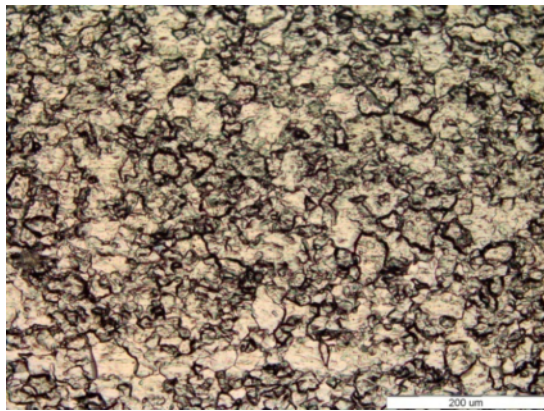
با میکروسکوپ الکترونی روبشی (SEM) از سطح مقطع شکست دو نمونه B<sub>1</sub> و B<sub>2</sub> که در آزمایش استحکام کشش دچار شکست شده بودند عکس گرفته شد.

با مطالعه عکس‌ها مشاهده گردید که در کلیه نمونه‌ها سطوح شکست نمونه‌ها کاملاً شبیه به سطوح شکست نرم است. شکست نرم از داخل دانه با اندازه و عمق‌های متفاوت در سطح شکست نمونه‌ها آغاز و پارگی نیز در بعضی نقاط سطوح اتفاق افتاده است. در مورفولوژی شکست نمونه B<sub>2</sub> شکست نرم از داخل دانه در بعضی نقاط سطح متقارن و در بعضی نقاط دیگر سطح پارگی اتفاق افتاده است. همان‌طور که در قسمت‌های (الف) و (ب) شکل ۱۰ مشاهده می‌شود، ترک‌های ریز در مقطع شکست شکل گرفته و سپس در سطح گسترش یافته‌اند. به علت نیروی کشش وارد به نمونه و جابجایی‌ها در جهت اعمال بار ترک گسترش یافته که منجر به گسیختگی نرم از داخل دانه‌ها شده است.

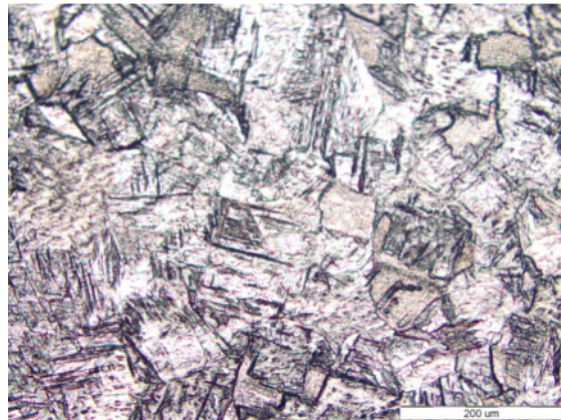
مورفولوژی شکست نمونه B<sub>1</sub> در قسمت‌های (ج) و (د) شکل ۱۰ نشان داده شده است. شکست نرم از داخل دانه در بیشتر نقاط به صورت متقارن اتفاق افتاده و در نقاط کمی پارگی رخ داده است. شکست نرم از داخل دانه، مسیر رشد ترک‌های ریز و انرژی استحکام کشش نسبت به نمونه B<sub>2</sub> قدری متفاوت است. چنین شکست نرمی نتیجه چقلمگی بالاتر نمونه B<sub>1</sub> نسبت به نمونه B<sub>2</sub> است.

#### ۵-۳- طیف سنج پراش اشعه ایکس (XRD)

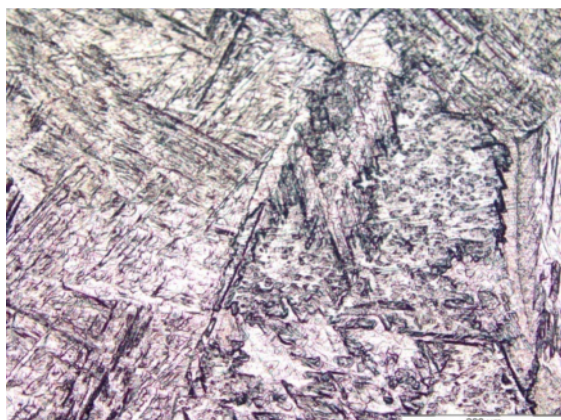
برای تعیین ساختار کریستالی مواد و تشخیص فازهای



الف- فلز اصلی (مناطق روشن نشانده فاز  $\alpha$  و مناطق تیره مربوط به فاز  $\beta$  می باشد).



ب- منطقه HAZ (این منطقه شامل دو فاز  $\alpha$  و  $\beta$  و فاز ماتنزیتی  $\alpha'$  می باشد. ابعاد دانه ها نسبت به فلز ماده بزرگتر و مقدار فاز  $\beta$  نیز کاهش یافته است).



ج- فلز جوش (در این منطقه فاز  $\alpha$  به طور کامل به فاز مارتنزیتی  $\alpha'$  زنبلی شکل تبدیل شده و مقادیر نسبتاً کمی از فاز  $\beta$  در اطراف فاز مارتنزیتی دیده می شود)

شکل ۱۲ نمونه متالوگرافی  $B_2$  با بزرگنمایی  $200\times$

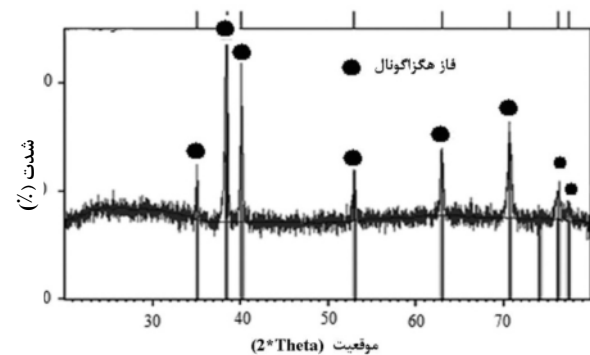
به عنوان نمونه، طیف XRD برای یکی از نمونه های آزمایش در شکل ۱۱ نشان داده شده است. همه نقاط پیک این نمودار متعلق به فاز هگزاگونال است.

لذا این نمودار بیانگر وجود مقدار نسبتاً زیادی فاز  $\alpha'$  و  $\alpha$  در فلز جوش شامل می باشد. (ساختار فاز  $\alpha'$  هگزاگونال است؛ و پیک های آن با فاز  $\alpha$  مشابه می باشد که در شکل ۱۱ نیز فقط ساختار هگزاگونال دیده شده است). البته فاز  $\beta$  نیز به مقدار کمی در فلز جوش وجود دارد؛ ولیکن با توجه به مقدار کم آن و دقیق دستگاه مورد استفاده، نمی توان پیکی از نمودار را به فاز  $\beta$  نسبت داد.

مقدار پیک ماکزیمم بدست آمده از آزمون طیف XRD نمونه  $B_2$  بیشتر از نمونه  $B_1$  بیشتر است که نشان دهنده بیشتر بودن فاز هگزاگونال در این نمونه است. با توجه به این که استحکام شکست در نمونه  $B_2$  قدری کمتر از استحکام شکست نمونه  $B_1$  می باشد، این افزایش فاز هگزاگونال احتمالاً مربوط به فاز  $\alpha$  است.

### ۶-۳- ریز ساختار

نمونه های متالوگرافی از منطقه جوش، HAZ و فلز اصلی جدا شده و با دستگاه مانت گرم، آماده صیقل کاری شد. سپس با استفاده از سنباده متحرک با درجات مختلف، کاملاً پرداخت شده و با استفاده از محلول شیمیایی  $(3\text{ ml HF}+6\text{ ml HNO}_3+100\text{ ml H}_2\text{O})$  توسط میکروسکوپ نوری از نمونه ها تهیه شده است. شکل های ۱۲ و ۱۳ نمونه هایی از نتایج متالوگرافی را نشان می دهند.



شکل ۱۱ طیف XRD نمونه  $B_1$

علت اصلی افزایش سختی و متعاقب آن استحکام در منطقه جوش و منطقه HAZ کاهش فاز  $\beta$  است که با وجود فاز مارتنتزیتی  $\alpha'$  تشدید می‌شود. کاهش فاز  $\beta$  در این مناطق همچنین با آزمون طیف‌سنج پراش اشعه ایکس (شکل ۱۱) تایید می‌شود.

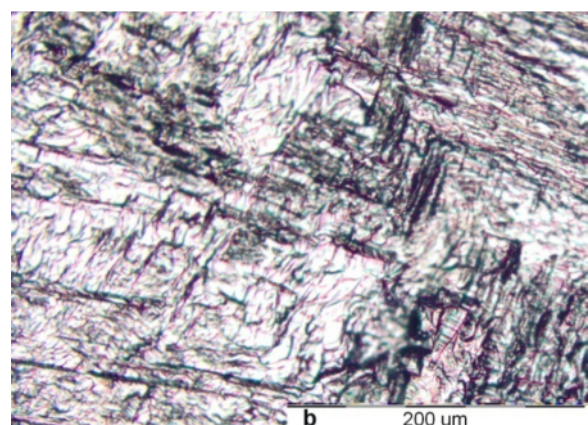
ریز ساختار منطقه HAZ نشان می‌دهد که در منطقه گرمای دیده هر سه فازهای  $\alpha$ ،  $\alpha'$  و  $\beta$  وجود دارند. همچنین رشد دانه نیز اتفاق افتاده که نتیجه انتقال حرارت با نرخ کمتر نسبت به فلز جوش می‌باشد. لازم به توجه است که وجود گاز محافظ و همچنین انتقال حرارت فلز جوش به مناطق مجاور باعث می‌شود که نرخ انتقال حرارت در فلز جوش بالاتر از منطقه HAZ باشد. بر این اساس، ریز ساختار در منطقه HAZ بیانگر یک گذار از حالت جوش فلز پایه به ماده منطقه جوش می‌باشد. مقدار فاز مارتنتزیتی مشاهده شده در این منطقه، با فاصله گرفتن از خط جوش کاهش یافته و به همان نسبت فاز  $\alpha$  افزایش می‌یابد. در هر دو ریز ساختار نشان داده شده در اشکال ۱۲ و ۱۳، جریان گاز محافظ در جوش‌کاری ۱۸ lit/min بوده است؛ لذا در گرمای ورودی کمتر، دمای حداقل کاهش یافته که منجر به کاهش اندازه دانه‌ها و کم شدن فاز  $\alpha'$  در منطقه HAZ می‌گردد. (دیده می‌شود که اندازه کلی دانه‌ها در نمونه B<sub>2</sub> بزرگتر از نمونه B<sub>1</sub> و تشکیل فاز  $\alpha'$  در نمونه B<sub>2</sub> بیشتر از نمونه B<sub>1</sub> می‌باشد). در حالی که در منطقه جوش کماکان فاز مارتنتزیتی به طور کامل تشکیل شده است. مطالعه سایر نمونه‌های متالوگرافی نشان داده که تغییرات زیادی در ریزساختار نمونه‌ها وجود ندارد و فاز مارتنتزیت  $\alpha'$  در همه نمونه‌ها در جهت‌های مختلف تشکیل شده است.

#### ۴- بحث و نتیجه‌گیری

در این مقاله، جوش‌کاری میکروپلاسمای روی ورق تیتانیوم Ti-3A-2.5V با ضخامت ۰/۸ mm انجام شده است. برای انجام این جوش‌کاری از دستگاه جوش GTAW استفاده شده و مشعل خاصی برای این دستگاه طراحی و ساخته شده است که به توسط آن می‌توان جوش میکروپلاسمای تا شدت جریان ۱۵ آمپر را بدون استفاده از مدار خنک‌کاری توسط مایع انجام داد. بر روی نمونه‌های جوش‌کاری شده، آزمایش‌های مختلفی اعم از آزمون‌های کشش و خمش، آزمون میکروسختی‌سنگی، آزمون طیف‌پراش اشعه X، شکستنگاری و آزمون متالوگرافی انجام پذیرفته است. بر اساس این آزمایش‌ها، نتایج زیر بدست آمده است.



الف-منطقه HAZ



ب-فلز جوش

شکل ۱۳ نمونه متالوگرافی B<sub>1</sub> با بزرگنمایی 200X

متالوگرافی ماده اصلی شامل دانه‌های فاز  $\alpha$  (رنگ روشن) می‌باشد که فاز  $\beta$  (رنگ تیره) در اطراف آنها پراکنده شده است. این ساختار اغلب در مواردی که ماده تیتانیومی به آرامی از دمای استحاله آلتتروپی سرد می‌شود، ایجاد شده و میان چقرمگی خوب ماده است. در هنگام جوش‌کاری وقتی دما از دمای فاز بتا بالاتر می‌رود فلز اصلی ذوب شده و فاصله بین دو قطعه را پر می‌کند. در هنگام سرد شدن (بسطه به نرخ کاهش درجه حرارت)، فاز بتا به فاز مارتنتزیتی تبدیل می‌شود و فاز  $\alpha'$  سوزنی شکل با بافت زنبیلی تشکیل می‌شود. در شکل‌های ۱۲ و ۱۳ به خوبی وجود فاز مارتنتزیتی  $\alpha'$  در منطقه جوش دیده می‌شود. این فاز مارتنتزیتی، یکی از عوامل افزایش استحکام و سختی ناحیه جوش نسبت به فلز اصلی و منطقه HAZ می‌باشد که در اشکال ۸ و ۹ نمایانده شده است. لازم به ذکر است که فاز  $\beta$  اساساً دارای سختی کمتری نسبت به فاز  $\alpha$  بوده و سختی فاز مارتنتزیتی  $\alpha'$  به مقدار کمی از فاز  $\alpha$  بیشتر است. لذا

- [6] Ddonachie M.J. Jr., "Titanium and titanium alloys", American Society for Metals (ASM), Ohio, USA, 1982.
- [7] Akman E., Demir A., Canel T., Sinmazcelik T., "Laser welding of Ti6Al4V titanium alloys", *Journal of Materials Processing Technology*, Vol. 209, No. 8, 2009, pp. 3705–3713.
- [8] Wang S., Wu X., "Investigation on the microstructure and mechanical properties of Ti-6Al-4V alloy joints with electron beam welding", *Materials and Design*, Vol. 36, 2012, pp. 663-670.
- [9] Fonda R.W., Knipling K.E., "Texture development in near-alpha Ti friction stir welds", *Acta Materialia*, Vol. 58, No. 19, 2010, pp. 6452-6463.
- [10] Yunlian Q., Ju, D., Quan H., Liying Z., "Electron beam welding, laser beam welding and gas tungsten arc welding of titanium sheets", *Materials Science and Engineering: A*, Vol. 280, No. 1, 2000, pp. 177–181.
- [11] Smith D., *Welding and Cutting With Q Plasma Arc*, Welding Skill and Technology (Chapter 15), Mc.Graw Hill International Editions, 1986.
- [12] Javidrad F., Farghadani H., Asgharzadeh A., "Microplasma Arc Welding of AISI 304 Stainless Steel for Use in Aerospace Industries", *Journal of Modares Science and Engineering*, Tarbiat Modares University, Special Issue: Mechanical Engineering, Vol. 31, 1998; pp. 69-77. (In Persian)
- [13] Karimzadeh F., Salehi M., Saatchi A., Meratian M., "Effect of microplasma arc welding process parameters on grain growth and porosity distribution of thin sheet Ti-6Al-4V alloy weldment", *Materials and Manufacturing Processes*, Vol. 20, No. 2, 2005; pp. 205-219.
- [14] Kumar A., Sapp M., Vincelli J., Gupta M. study on laser cleaning and pulsed gas tungsten arc welding of Ti-3Al-2.5V alloy tubes", *Journal of Materials Processing Technology*, Vol. 210, No. 1, 2010, pp. 64-67.
- [15] Heydari M., *Joining of Ti-3Al-2.5V titanium Alloy Thin Sheets using Microplasma Arc Welding: A Study of Mechanical Properties and Microstructural Evolution*, MSc. Dissertation, Center for Postgraduate Studies, Aeronautical University of Science and Technology, Tehran, Iran, 2012. (In Persian)
- [16] Thoriated Tungsten Electrodes, AWS Safety & Health Fact Sheet, No. 27, American Welding Society, USA, 2003.
- [17] Kou S., *Welding metallurgy 2th ed.*, Wiley-Interscience Publishers, USA, 2003.
- [18] Marashei P., *Electron Microscopy and New Emerging Methods for Analysis using Nano Technologies*, Iran Science and Technology Press, Tehran, Iran, 1994. (In Persian)

۱- جوش میکروپلاسمای روی ورق تیتانیومی به میزان گرمای ورودی حساس است. با انجام آزمایشات برای مقادیر مختلف گرمای ورودی، گرمای ورودی در محدوده ۷۶ J/mm تا ۱۴۰ J/mm برای این جوش کاری مناسب می‌باشد.

۲- میزان جریان گاز محافظت بر کیفیت جوش و خواص مکانیکی تأثیرگذار است و باید به طور مناسب به صورت تجربی تعیین شود. برای جوش کاری روی نمونه‌های استفاده شده در این تحقیق، گذر حجمی جریان گاز محافظ ۱۸ lit/min مناسب می‌باشد.

۳- در اثر جوش میکروپلاسمای روی ورق مورد نظر، میزان سختی تا حداقل ۴۰٪ افزایش یافته است که نسبت به سایر روش‌های جوش کاری این میزان افزایش سختی قابل قبول بوده و لذا نیازی به عملیات حرارتی نمی‌باشد.

۴- شکست نمونه‌ها از نوع شکست نرم بوده و در فلز اصلی رخ داده است. لذا استنباط می‌شود که جوش مناسب میکروپلاسمای روی این ماده منجر به تضعیف خواص مکانیکی و تغییر مورفولوژی شکست نمی‌گردد.

۵- نتایج آزمون متالوگرافی نشان داد که فازهای  $\alpha$  و  $\beta$  در اثر جوش کاری به فاز مارتنتزیتی  $\alpha'$  تبدیل که در منطقه HAZ و خط جوش رسوب می‌کند. این فاز  $\alpha'$  سوزنی شکل روی محدوده خط جوش بیشتر از HAZ بوده که نشان‌دهنده تأثیرپذیری آن از نرخ سرد شدن جوش است.

## ۵- مراجع

- [1] Boyer R.R., "Attributes, characteristics, and applications of titanium and its alloys", *Journal of Materials*, Vol. 62, No. 5, 2010, pp. 21-24.
- [2] Lutjering G., Williams J.C., *Titanium 2th ed.*, Berlin Heidelberg, New York, Springer-Verlag, 2007.
- [3] Leyens C., Peters M., *Titanium and Titanium Alloys, Fundamentals and Applications*, WILEY-VCH Verlag GmbH & Co. KGaA, Weinheim, 2003.
- [4] Vatanara M., Vatanara M.R., Haghshenas M., "Materials and Their Behavior under Welding", Vol. 2, Welding of Special Metals, Iranian Welding Engineering Research Center, Tehran, Iran, 1996. (In Persian)
- [5] Otani T., *Titanium Welding Technology*, Nippon Steel Technical Report, No. 95, USA, 2007.